技术与应用

DOI: 10.3724/SP. J.1123.2011.01027

# 反相离子对色谱-电感耦合等离子体质谱法测定化妆品中不同形态的铬

庞艳华<sup>\*</sup> , 刘名扬 , 刘淑艳 , 董振霖 (辽宁出入境检验检疫局 ,辽宁 大连 116001)

摘要: 建立了反相离子对色谱(RP-IPC) 与电感耦合等离子体质谱(ICP-MS) 联用技术快速分离测定化妆品中 Cr(Ⅲ) 和Cr(Ⅵ) 的方法。样品经乙二胺四乙酸钠盐(EDTA) 50 ℃水浴中提取后 采用 XDB-C<sub>18</sub>色谱柱分离 以 5% ( $_{\rm V}$ / $_{\rm V}$ ) 甲醇-2. 0 mmol/L 四正丁基铵盐(TBA) 水溶液( $_{\rm PH}$  6. 0) 作为流动相 流速为 1. 0 mL/min 进样量为 100 μL。 采用碰撞池技术消除 ICP-MS 测定时 $_{\rm H}$ 0  $_{\rm H}$ 1  $_{\rm V}$ 2 Cr  $_{\rm V}$ 0 的光谱学干扰。Cr(Ⅲ) 和Cr( Ⅵ) 的分离过程在 5 min 内完成。样品中加标量为 0. 01 ~ 0. 50 μg 时 其回收率为 82. 7% ~ 107. 2% 相对标准偏差(RSD) 小于 5. 62%。 该方法操作简便、灵敏度高、重现性好 适合于化妆品中Cr( Ⅲ) 和Cr( Ⅵ) 的同时分析。

关键词: 反相离子对色谱; 电感耦合等离子体质谱; 铬; 形态; 化妆品

中图分类号: 0658 文献标识码: A 文章编号: 1000-8713(2011) 10-1027-04

# Simultaneous determination of chromium speciation in cosmetics using reversed-phase ion-pair chromatography-inductively coupled plasma mass spectrometry

PANG Yanhua\*, LIU Mingyang, LIU Shuyan, DONG Zhenlin (Liaoning Entry-Exit Inspection and Quarantine Bureau, Dalian 116001, China)

**Abstract**: A method was developed to determine chromium speciation simultaneously in cosmetics using reversed-phase ion-pair chromatography ( RP-IPC) with inductively coupled plasma mass spectrometry ( ICP-MS) . After the extraction with disodium ethylenediaminetetraacetate (EDTA) in a water bath , the sample was separated on an XDB  $C_{18}$  column with the mobile phase of 5% ( v/v) methanol-2.0 mmol/L tetrabutylammonium ( TBA) ( pH 6.0) , the flow rate of 1.0 mL/min and the injection volume of 100  $\mu$ L. The collision cell technology was applied to eliminate the mass interferences of  $^{40}$ Ar $^{12}$ C $^{+}$  and  $^{35}$ Cl $^{16}$ O $^{1}$ H $^{+}$  in the analysis of  $^{52}$ Cr $^{+}$ . The separation was achieved within 5 min. The recoveries of Cr(  $\blacksquare$ ) and Cr(  $\blacksquare$ ) ranged from 82.7% to 107.2% with the relative standard deviations ( RSDs) less than 5.62% ( n=6) with the spiked amounts of 0.01 – 0.50  $\mu$ g in different kinds of cosmetic samples. The developed method has the advantages of simplicity , sensitivity and good reproducibility , and can be used for the simultaneous determination of Cr(  $\blacksquare$ ) and Cr(  $\blacksquare$ ) in cosmetics.

**Key words**: reversed-phase ion-pair chromatography (RP-IPC); inductively coupled plasma mass spectrometry (ICP-MS); chromium; speciation; cosmetic

铬是环境污染和影响人类健康的重要元素之一。不同价态的铬具有不同的环境行为和生物效应 ,三价铬( Cr( Ⅲ) ) 是人体必需的微量元素 ,可促

进葡萄糖的利用 是正常糖脂代谢所不可缺少的; 而 六价铬(Cr(VI)) 由于其氧化性和对皮肤的高渗透性被确认为有致癌作用[1] 因此Cr(III) 和Cr(VI)的

<sup>\*</sup> 通讯联系人: 庞艳华 博士 ,工程师 ,研究方向为食品分析和研究. Tel: (0411)82583912 , E-mail: cindy\_gl@ eyou.com. 基金项目: 国家质检总局科研专项(2008IK132)及辽宁出入境检验检疫局科研计划项目(LK08-2008). 收稿日期: 2011-04-25

准确分析在食品科学、环境科学以及生命科学等方面具有重要意义。但是目前对于化妆品中 Cr 的检测仍然停留在检测总铬的水平上,还没有一种可以同时测定化妆品中Cr(III) 和Cr(IVI) 含量的方法。

目前对于铬形态分析研究较多的分离分析及富 集技术包括固相萃取[2,3]、离子交换[4,5]、毛细管电 泳[6]、纳米材料吸附[7]、流动注射系统[8]、浊点萃 取[9] 及色谱[10,11] 等 检测手段主要有原子吸收光谱 (AAS)、原子发射光谱(AES)及电感耦合等离子体 质谱(ICP-MS)等。其中高效液相色谱-电感耦合等 离子体质谱联用技术(HPLC-ICP-MS)可对不同形态 的痕量元素同时进行分析 并具有接口简单、检出限 低、线性范围宽、分析时间短等优点[12];但传统的四 极杆 ICP-MS 还存在比较严重的多原子离子干扰问 题,如<sup>40</sup>Ar<sup>16</sup>O对<sup>56</sup>Fe,<sup>40</sup>Ar<sup>35</sup>Cl对<sup>75</sup>As,<sup>40</sup>Ar<sup>40</sup>Ar对<sup>80</sup>Se, <sup>40</sup>Ar<sup>12</sup>C及<sup>35</sup>Cl<sup>16</sup>O<sup>1</sup>H对<sup>52</sup>Cr的干扰等,这些多原子离 子干扰的存在,使被干扰元素难以直接测定。碰撞 反应池技术是消除四极杆质谱仪多原子离子干扰的 最先进技术<sup>[13]</sup>。本文选用乙二胺四乙酸钠(EDTA) 提取化妆品中的Cr(Ⅲ)与Cr(Ⅵ),以四正丁基溴化 铵(TBA) 作为离子对试剂 以甲醇为有机改进剂 在 C₁s键合的反相色谱柱上实现了Cr(Ⅲ)与Cr(Ⅵ)的 同步快速分离,用带有碰撞池的 ICP-MS 来定量检 测不同形态的铬。

#### 1 实验部分

# 1.1 仪器与试剂

7500ce 电感耦合等离子体质谱仪( 美国 Agilent 公司),配有碰撞反应池; LC 1200 高效液相色谱系统( 美国 Agilent 公司),配有 Agilent G1328A 泵、Rheodyne 9725 进样阀和 100 μL 进样环; Z323K 高速冷冻离心机(德国 Hermle 公司); MLS-1200 MEGA 微波消解装置(意大利 Milstone 公司)。

EDTA(优级纯) 购自美国 Amresco 公司; TBA (分析纯) 购自天津科密欧化学试剂公司; 甲醇为色谱纯; 硝酸、盐酸和氨水均为分析纯; 实验用水为18.2 MΩ• cm 超纯水。Cr(Ⅲ) 标准储备液(GSB 04-1723-2004) 和 Cr(Ⅵ) 标准储备液(GBWE 080 257) 均购自中国标准物质中心。实验所用溶液在进样前均用 0.45 μm 微孔滤膜过滤。

#### 1.2 实验方法

#### 1.2.1 样品前处理

称取 0.50 g 样品置于 10 mL 离心管中 加入 10 mL 0.5 mmol/L EDTA 涡旋混匀后于 50 ℃水浴中加热 60 min ,使Cr( Ⅲ) 与 EDTA 完全配合 ,冷却 ,取

部分溶液以 14 000 r/min 速度离心 10 min ,取上清液 过 0.45 μm 滤膜 ,备用。

#### 1.2.2 LC 与 ICP-MS 条件

XDB- $C_{18}$ 反相色谱柱( 50 mm × 2. 1 mm , 5 μm) (美国 Agilent 公司); 流动相为 5% ( v/v) 甲醇-2. 0 mmol/L TBA 水溶液( pH 6. 0); 流速为 1. 0 mL/min; 进样量为 100 μL。

ICP-MS 采用碰撞反应池模式 ,调节碰撞反应气  $(He/H_2)$  的混合气) 流速 ,以消除 质谱 检测中  $^{40}$ Ar $^{12}$ C $^+$ 与 $^{35}$ Cl $^{16}$ O $^1$ H $^+$ 对 $^{52}$ Cr $^+$ 的光谱学干扰。实验 前调节 ICP-MS 参数以获得最优信噪比(S/N) ,并保证基线的稳定性。具体仪器参数: 射频功率为 1 250 W; 反射功率为 2 W; 载气流速为 0. 85 L/min; 辅助气流速为 0. 15 L/min; 雾化室温度为 2 °C; 采样锥直径为 1. 0 mm; 截取锥直径为 0. 4 mm; 提升率为 1. 0 mL/min; H₂ 流速为 1. 0 mL/min; He 流速为 3. 0 mL/min; 质量数为 52。

# 2 结果与讨论

# 2.1 前处理条件的优化

#### 2.2 色谱条件的优化

固定流动相为 2.0 mmol/L TBA-5% ( v/v) 甲醇  $_{\rm H}$   $_{\rm I}$   $_{\rm I}$ 

样品前处理时加入 EDTA 可以配合Cr(Ⅲ),而实验发现流动相中添加 EDTA 会导致 Cr(Ⅲ)与 Cr(Ⅵ)的分离度变差,这可能是因为流动相中离子强度的增大会降低分析物的保留时间,因此在流动相中不需要添加 EDTA。

在反相离子对色谱中,离子对试剂浓度的降低会使待测物的保留时间降低。当流动相的 pH = 6.0、甲醇为 5% ( v/v) 时,考察了 TBA 浓度分别为 0.5、1.0 和 2.0 mmol/L 时Cr(III) 与Cr(VI) 的保留时间的变化,结果见表 1。甲醇含量的升高会增加流动相的极性,同样使得分析物的保留时间降低。当流动相 pH = 6.0、TBA 浓度为 2.0 mmol/L 时,考察了甲醇含量变化对Cr(III) 与Cr(VI) 的保留时间变化的影响(见表 2)。考虑到分离度及色谱分析时间 最终选择 2.0 mmol/L TBA、5% ( v/v) 甲醇、pH = 6.0 作为最佳流动相条件。Cr(III) 与Cr(VI) 标准溶液的色谱分离图见图 1。可以看出,当流速为 1.0 mL/min 时,色谱分析时间不足 5 min。

表 1 TBA 浓度对Cr( III) 与Cr( VI) 出峰时间的影响 Table 1 Effects of TBA concentration on the retention times of Cr( III) and Cr( VI)

times of Ci ( iii ) and Ci ( vi )				
Chromium	TBA/( mmol/L)			
speciation	0.5	1.0	2.0	
Cr( <b>II</b> I)	1.8	1.9	1.9	
Cr(VI)	2.9	3.1	3.4	

表 2 甲醇浓度对Cr( III ) 与Cr( VI ) 出峰时间的影响 Table 2 Effects of methanol content on the retention times of Cr( III ) and Cr( VI )

Chromium	φ( Methanol) /%			
speciation	0	2	5	10
Cr( III)	2.2	2.1	1.9	1.8
Cr(VI)	3.6	3.5	3.4	3.2

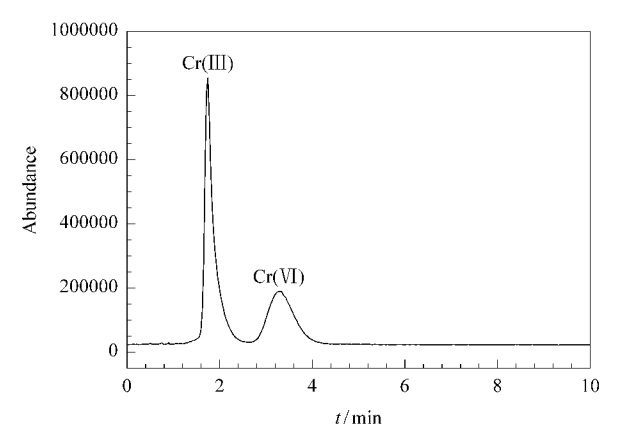


图 1 Cr( III) 与Cr( VI) 混合标准溶液的色谱图 Fig. 1 Chromatogram of a mixture of Cr( III) and Cr( VI) standards

### 2.3 线性方程及检出限

在 1.2.2 节所述实验条件下,将  $1.0 \sim 100$   $\mu g/L$  Cr( III) 与Cr( VI) 混合标准溶液依次进样,进样量为 100  $\mu L$ 。以峰面积( Y) 为纵坐标、标准溶液的质量浓度( X ,  $\mu g/L$ ) 为横坐标绘制标准工作曲线,其线性方程、线性范围和相关系数见表 3。可以看出 Cr( III) 和Cr( VI) 的检出限(  $LOD_{*}S/N=3$ ) 分别为 0.3 和 0.5  $\mu g/L$ 。方法的定量限( LOQ) 以加标样品的色谱峰 S/N=10 确定 Cr( III) 和Cr( VI) 的定量限分别为 0.02 和 0.03 mg/kg。

表 3 Cr( III ) 与Cr( VI ) 的线性方程、相关系数、线性范围与检出限 Table 3 Regression equations , correlation coefficients , linear ranges and detection limits of Cr( III ) and Cr( VI )

Chromium speciation	Regression equation	Correlation coefficient	Linear range/ ( µg/L)	LOD/ ( µg/L)
Cr( <b>Ⅲ</b> )	Y = 16124X + 92698	0.9994	1.0 - 100.0	0.3
Cr(VI)	Y = 63683X + 51724	0.9992	1.0 - 100.0	0.5

Y: peak area; X: mass concentration, µg/L.

#### 2.4 加标回收试验和精密度

表 4 Cr( III ) 与Cr( VI ) 的回收率及其相对标准偏差( n = 6 )
Table 4 Recoveries and their relative standard
deviations of Cr( III ) and Cr( VI ) ( n = 6 )

ry/ RSD/ % 89.8 1.81
**
9.8 1.81
.01.3 4.83
.03.2 5.48
98.2 2.96
06.8 5.62
03.6 5.08
2.5 3.24
02.1 4.44
03.8 4.57
02.2 3.52
04.7 4.31
07.2 2.95
1

#### 2.5 样品分析

分别准确称取多种化妆品样品,按照1.2.1节和1.2.2节所述实验条件进行样品处理与分析测

min

定。总铬的测定参照标准方法<sup>[17]</sup> ,结果见表 5。可以看出 .化妆品样品中总铬的含量均较低 ,没有超过食品中铬限量的卫生标准( $\leq$ 2.0 mg/kg)。图 2 给出了实际样品的色谱图 ,实验所选取的化妆品样品中铬多以Cr(III) 形态存在。

表 5 实际样品的测定结果

Table 5 Analytical results of cosmetic samples

mg/kg

C1.	Total	Chromium speciation	
Sample	chromium	Cr( III)	Cr( VI)
Smoothing toner (柔肤水)	ND	ND	ND
Refreshing toner ( 爽肤水)	ND	ND	ND
Skin lotion ( 润肤液)	0.03	0.02	ND
Moisturizing lotion (保湿乳)	0.05	0.05	ND
Nutrient cream ( 面霜)	0.12	0.12	ND
Eye cream (眼霜)	0.21	0.20	ND
Foundation primer (隔离霜)	0.26	0.24	0.01
Pressed powder ( 粉饼)	0.32	0.19	0.12
Body wash (沐浴露)	0.09	0.09	ND

ND: not detected.

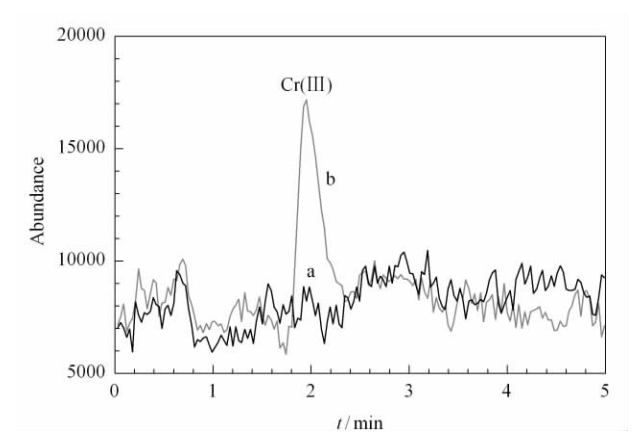


图 2 实际样品中铬形态的色谱图 g. 2 Chromatograms of chromium speciation in (a) smoothing toner and (b) skin

lotion samples

# 3 结论

本文采用 RP-IPC/ICP-MS 联用技术对化妆品中不同形态的铬进行了在线分离与测定。选用 0.5 mmol/L EDTA 作为提取溶剂 ,采用碰撞池技术消除 ICP-MS 测定时 $^{40}$  Ar $^{12}$  C+、 $^{35}$  Cl $^{16}$  O $^{1}$  H+ 对 $^{52}$  Cr+的光谱学干扰 ,考察了 TBA 浓度、甲醇含量、pH 对 Cr( III) 和Cr( VI) 分离测定的影响,确定流动相最

佳组成为 2.0 mmol/L TBA-5% ( v/v) 甲醇 ,pH = 6.0。当进样量为  $100~\mu$ L 时 ,Cr( Ⅲ) 和Cr( VI) 的检出限分别为  $0.3~\pi~0.5~\mu$ g/L ,实际样品加标回收率分别为  $85.1\%\sim103.8\%$  和  $82.7\%\sim107.2\%$ 。方法的样品处理及分离分析过程没有发生 Cr( VI) 与 Cr( Ⅲ) 相互转化的现象 表明该方法可以用于化妆品中Cr( VI) 与Cr( Ⅲ) 的同时分析。

#### 参考文献:

- [1] Cornelis R , Caruso J , Crews H , et al. Handbook of Elemental Speciation II: Species in the Environment , Food , Medicine and Occupational Health. Chichester: Wiley , 2005
- [2] Yaman M. J Anal Chem , 2003 , 58(5): 456
- [3] Motomizu S , Jitmanee K , Oshima M. Anal Chim Acta , 2003 , 499 (1/2): 149
- [4] Corti H R , Gómez D G , de Blanco E K , et al. J Nucl Mater , 1996 ,229(1/3): 132
- [5] Xu W J , Han D , Yuan S Y , et al. Chinese Journal of Chromatography (徐稳杰,韩冬,袁士义,等. 色谱) , 2001 , 19(4): 350
- [6] Yeh C F , Jiang S J. J Chromatogr A , 2004 , 1029(1/2): 255
- [7] Chen S T , Yan Y S , Xu W Z , et al. Spectroscopy and Spectral Analysis (陈松涛 , 闫永胜 , 徐婉珍 , 等. 光谱学与光谱分析) , 2007 , 27(5): 1018
- [8] Wang C, Xie WB, Liu J, et al. Chinese Journal of Analytical Chemistry (王畅,谢文兵,刘杰,等. 分析化学),2007,35 (3):451
- [9] Zhu X S , Jiang Z C , Hu B , et al. Chinese Journal of Analytical Chemistry (朱霞石 , 江祖成 , 胡斌 , 等. 分析化学) , 2003 , 31 (11): 1312
- [10] Byrdy F A , Olson L K , Vela N P , et al. J Chromatogr A ,1995 , 712(2): 311
- [11] Zhang N , Suleiman J S , He M , et al. Talanta , 2008 , 75(2): 526
- [12] Li B, Yang H X. Principles and Applications of Inductively Coupled Plasma Mass Spectrometry. Beijing: Geological Publishing House (李冰,杨红霞. 电感耦合等离子体质谱原理和应用. 北京: 地质出版社),2005
- [13] Qi J Y , Li X P , Chen Y H , et al. Chinese Journal of Analysis Laboratory ( 齐剑英 , 李祥平 , 陈永亨 , 等. 分析试验室) , 2008 , 27(5): 30
- [14] Scindia Y M , Pandey A K , Reddy A V R , et al. Anal Chem , 2002 ,74(16): 4204
- [15] Cathum S , Brown C E , Wong W. Anal Bioanal Chem , 2002 , 373(1/2): 103
- [16] Sahayam A C. Anal Bioanal Chem , 2002 , 372 (7/8): 840
- [17] SN/T 2288-2009